

# КВАДРУПОЛЬНЫЕ ЭФФЕКТЫ И ОСОБЕННОСТИ ЯМР ОПТИЧЕСКИ ОРИЕНТИРОВАННЫХ ЯДЕР В ТВЕРДЫХ ПОЛУПРОВОДНИКОВЫХ РАСТВОРАХ.

*Б.П.Захарченя, В.А.Новиков, В.Г.Флейшер*

Обнаружены резонансные переходы оптически ориентированных ядер с частотами, изменяющимися при поворотах кристалла по синусоидальному закону в диапазоне между нулем и утроенной частотой обычного ЯМР. Резонансы связаны с нарушением кубической симметрии при замещении галлия алюминием в твердом растворе  $\text{Ga}_{0.24}\text{Al}_{0.76}\text{As}$ .

В многочисленных работах по оптической ориентации электронных и ядерных спинов в полупроводниках до сих пор не было сообщений о проявлении анизотропии кристаллического поля. В последнее время при исследовании оптической ориентации в твердых растворах  $\text{Ga}_{0.24}\text{Al}_{0.76}\text{As}$  на магнитных ядрах был обнаружен ряд сильных анизотропных эффектов. Исследование ЯМР на оптически ориентированных ядрах позволило установить, что в оптическом канале проявляется ядерное квадрупольное взаимодействие. ЯМР регистрировался оптически по изменению степени  $\rho$  циркулярной поляризации люминесценции при наложении слабого переменного поля на резонансных частотах. В исследованных кристаллах величина  $\rho$  численно равна проекции  $\langle S_z \rangle$  среднего спина электронов на направление наблюдения. При возникновении ядерной поляризации, на электронные спины действует эффективное магнитное поле ядер  $H_N$  [1,2]. Используя условия, при которых это влияние оказывается сильным, можно оптически регистрировать ЯМР с высокой чувствительностью, изменяя поле  $H_N$  на резонансных частотах.

На рис. 1 представлена геометрия опыта. Возбуждающий, циркулярно поляризованный ( $\sigma$ ) луч Не – Не-лазера распространяется вдоль оси  $z$ , нормально к поверхности (плоскость (100)) кристалла. Постоянное магнитное поле  $H_x$  приложено вдоль оси  $x$ . Переменное магнитное поле  $H_y$  действует вдоль оси  $y$ . Кристалл поворачивается вокруг оси  $z$  и регистрируются спектры ЯМР для различных углов  $\phi$  между осью [110] и осью  $x$ . Измерения проведены на кристаллах  $p\text{-Al}_{0.24}\text{Ga}_{0.76}\text{As}$  при 77 К.

Электронные спины прецессируют в суммарном поле  $H_x + H_N$ . На частотах ЯМР изменяется поле  $H_N$  и, следовательно, скорость прецессии электронных спинов и величина проекции  $\langle S_z \rangle$ . При этом наблюдаются изменения ( $\Delta\rho$ ) циркулярной поляризации люминесценции, показанные на рис. 2. Следует отметить, что структура спектра существенно зависит от величины поля  $H_x$  и ориентации кристалла. На рис. 2 приведены линии, движение которых надежно прослеживается в широком диапазоне изменения полей  $H_x$  и углов  $\phi$ . В отдельных областях значений  $H_x$  и  $\phi$  наблюдаются дополнительные детали спектра, включающие как широкие раз-

мытые линии, так и хорошо разрешенные. В этом сообщении мы ограничиваемся рассмотрением поведения отдельных резонансных линий, приведенных на рис. 2. Значения частот приведенных резонансов изменяются линейно при изменении величины поля  $H_x$ . Следует обратить внимание на хорошее выделение резонансных линий при оптической регистрации ЯМР в относительно слабом поле (десятки эрстед). Ранее оптически регистрировались ЯМР спектры полупроводника в полях более килоэрстеда.

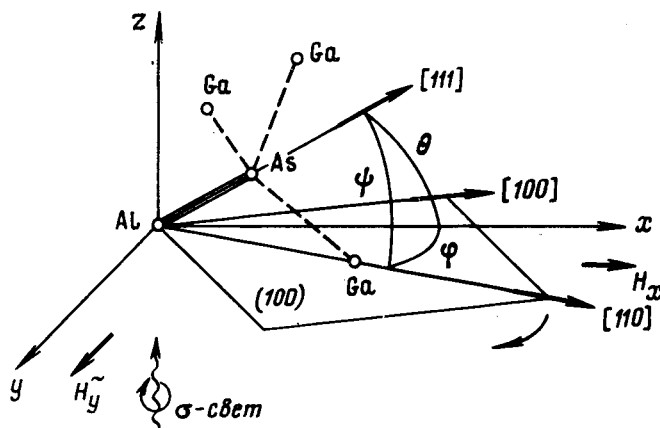


Рис. 1. Геометрия опыта. Представлен случай, когда один из ближайших к атому As атом Ga заменен на Al. Обозначения в тексте

Оптическое детектирование ЯМР осуществляется косвенно по зависимости  $\langle S_z \rangle$  от  $H_N$ . Величина  $\langle S_z \rangle$  является весьма сложной функцией [3]. Она зависит от величины поля  $H_x$ , интенсивности света и ориентации кристалла. Здесь мы не имеем возможности останавливаться на форме и знаке резонансных сигналов. Отметим лишь, что ЯМР спектры на рис. 2 включают низкочастотную и высокочастотную ветви, причем низкочастотной ветви соответствует уменьшение  $\rho$  (отрицательные величины  $\Delta\rho$ ), а высокочастотной — положительные  $\Delta\rho$ . При меньших полях  $H_x$  наблюдаются положительные значения  $\Delta\rho$  и для низкочастотной ветви. Весьма сложной оказывается зависимость ЯМР сигнала от амплитуды поля  $H_y$ . В области малых полей  $H_y$  наблюдается сильная нелинейность. При больших  $H_y$  (порядка и более одного эрстеда) наблюдается сглаживание ЯМР спектров и изменение знака  $\Delta\rho$  в некотором диапазоне полей  $H_x$ . При этом наблюдаются частотные зависимости, приведенные в работе двух авторов [3].

На рис. 3 представлены экспериментальные значения резонансных частот в зависимости от угла  $\phi$ . Сплошные линии представляют собой отрезки синусоиды.

Такой вид угловых зависимостей связан с частичным замещением галлия алюминием в твердых растворах  $\text{Ga}_x\text{Al}_{1-x}\text{As}$ . При этом кубическая симметрия элементарных ячеек нарушается, появляются заметные гра-

диенты поля и связанные с ними квадрупольные эффекты. В исследованных составах, в среднем, один из четырех ближайших к ядру As<sup>75</sup> атомов Ga заменен на Al. Связи атомов Ga – Al и As – Al расположены вдоль пространственных диагоналей куба. Таким образом, в этих направлениях в разных ячейках возникают градиенты поля, действующие на ядра As<sup>75</sup>.

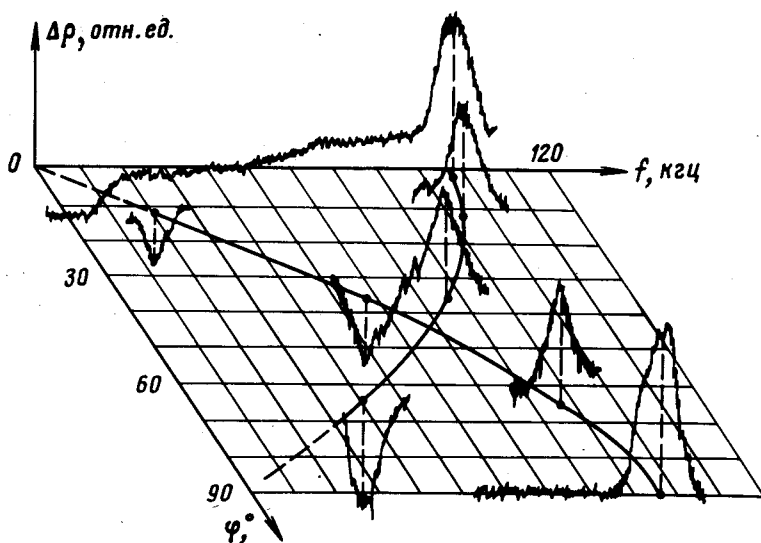


Рис. 2. Изменения  $\Delta\rho$  степени циркулярной поляризации люминесценции в зависимости от угла  $\phi$  и частоты  $f$  переменного поля  $H_y$ . Постоянное поле  $H_x = 57$  э. Температура 77К

Максимальные частоты на рис. 3 соответствуют направлениям поля  $H_x$  вдоль диагоналей граней куба. Эти частоты отличаются от величины  $3\gamma_1 H_x$  ( $\gamma_1$  – гиромагнитное отношение для ядер As<sup>75</sup>) множителем  $\approx 0,82$ , соответствующим значению  $\cos \psi$  для  $\psi$ , равного углу между осями [110] и [111]. Наклон внешнего магнитного поля к оси  $z$ , при котором угол между полем и осью [111] уменьшается, как и следовало ожидать, сопровождается дополнительным увеличением резонансной частоты.

Таким образом, приведенные результаты свидетельствуют о наличии резонансных переходов между расщепленными во внешнем поле уровнями с магнитными квантовыми числами  $\pm 3/2$ . Это расщепление существенно меньше квадрупольного расщепления между уровнями  $1/2$  и  $3/2$ , так что ядерная зеемановская энергия входит в спиновый гамильтониан в виде члена, пропорционального  $H \cos \theta$ , где  $\theta$  – угол между направлением градиента кристаллического поля и внешним магнитным полем. В условиях оптической ориентации электронов за счет сверхтонкого взаимодействия происходят либо преимущественно переходы  $+1/2 \rightarrow +3/2$ , либо  $-1/2 \rightarrow -3/2$ , в зависимости от знака циркулярной поляризации возбуждающего света. Преимущественное заселение

ние одного из уровней  $3/2$  приводит к появлению компоненты поля  $H_N$ , действующего на электронные спины, наряду с компонентой, возникающей в результате охлаждения ядерной спин-системы в поле электронов [3]. Выравнивание заселеностей при медленном прохождении резонансов изменяет поле  $H_N$  и, как следствие, величину  $\rho$ . Переходы между уровнями  $\pm 3/2$  становятся возможными, благодаря примешиванию состояний с квантовым числом  $1/2$  при  $\theta \neq 0$ . Две частотные ветви на рис. 3 связаны с вкладом двух пар пространственных диагоналей куба, расположенных во взаимно перпендикулярных плоскостях. Резонансные частоты для одной пары изменяются при изменении  $\phi$ , как  $3\gamma_1 H_x \cos \psi \cos \phi$  и для другой, как  $3\gamma_1 H_x \cos \psi \sin \phi$ .

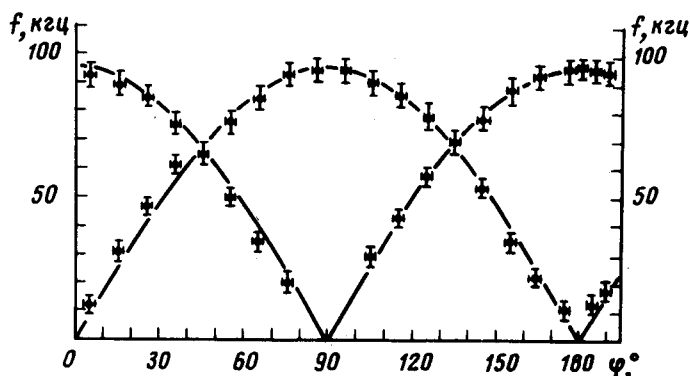


Рис. 3. Угловые зависимости резонансных частот для ядер  $\text{As}^{75}$ .  $H_x = 57$  э. Температура 77К

Наблюдаются также аналогичные резонансные переходы для изотопов  $\text{Ga}^{69}$  и  $\text{Ga}^{71}$ , однако, они выражены более слабо и проследить за ними труднее, что, возможно, связано с меньшей величиной квадрупольного момента этих ядер, большей величиной межатомного расстояния  $\text{Ga} - \text{Al}$  и тем, что каждое ядро  $\text{Ga}$  имеет несколько замещенных на  $\text{Al}$  ближайших соседей.

Непосредственно перед отправкой этого сообщения авторам стало известно о наблюдении аналогичных переходов В.Л.Берковицем и В.И.Сафаровым,

Авторы благодарны М.И.Дьяконову, В.И.Перелью и И.А.Меркулову за обсуждения.

Физико-технический институт  
им. А.Ф.Иоффе  
Академии наук СССР

Поступила в редакцию  
6 июля 1977 г.

## Литература

- [1] В.Л.Берковиц, А.М.Екимов, В.И.Сафаров. ЖЭТФ, 65, 346, 1973.
- [2] М.И.Дьяконов, В.И.Перель. ЖЭТФ, 65, 362, 1973.
- [3] В.А.Новиков, В.Г.Флейшер. ЖЭТФ, 71, 778, 1976.